

تولید، فرمول‌بندی، کنترل کیفی و مطالعات اولیه زیستی رادیوداروی $[^{18}\text{F}]$ فلوئورید پتاسیم به منظور تصویربرداری استخوان به روش PET

امیررضا جلیلیان، محمد میرزاپی، پژمان روشن فرزاد، محمد رضا انصاف، علیرضا کریمیان، غلامرضا اصلانی، فرحتاز معتمدی سده، مهریان پولادی، بهروز شیرازی، حسین آفریده، سعید دانشوری

بخش سیکلوترون و پزشکی هسته‌ای، مرکز تحقیقات کشاورزی و پزشکی هسته‌ای کرج، سازمان انرژی اتمی ایران

چکیده

رادیوداروی $[^{18}\text{F}]$ فلوئورید پتاسیم که استاندارد مرجع در نگاره‌برداری از سیستم اسکلتی به روش گسیل پوزیترون است، برائی بمباران آب غنی شده ($^{18}\text{O}-\text{H}_2\text{O}$) با پروتونهای پرانرژی در سیکلوترون تولید شد. پس از استخراج فلوئورید از آب غنی شده به صورت فلوئورید پتاسیم و عبور آن از صافی خرد میکروبی و تنظیم دقیق اسیدیته و اسماولالیته، این ماده به فرم قابل تزریق به موجود زنده تبدیل گردید. بررسیهای پیش بالینی و کنترل بیولوژیک جهت تعیین پراکنده‌گی رادیوایزوتوپ در بافت‌های بدن موش صحرایی انجام شد و اطلاعات مناسبی برای تصویربرداری با این رادیودارو در انسان بدست آمد. رادیودارو دارای اینستی کامل بوده و مطلوب بودن کیفیت آن از مر لحاظ در موش صحرایی ثابت شد.

واژه‌های کلیدی: فلوئور-۱۸، فلوئورید پتاسیم، نگاره برداری با گسیل پوزیترون، پراکنش باقی، سیکلوترون

مقدمه

نگاره‌برداری بر اساس گسیل پوزیترون در هزاره جدید بعنوان روشی بلامنازع در پزشکی هسته‌ای مطرح شده است امروزه ملکولهای متنوعی شامل قندها، اسیدهای آمینه، اسیدهای چرب، پروتئینهای تشخیصی، پادتها و حتی قطعات DNA حاصل از روش‌های مهندسی ژنتیک به وسیله عناصر پوزیترون دهنده به خصوص فلوئور-۱۸ نشاندار شده و در بسیاری از مطالعات بالینی مورد استفاده قرار می‌گیرند.

مزیت‌های PET در مقایسه با SPECT به شرح زیراست:

- ۱- امکان اندازه‌گیری کمی در روش PET به تشخیص وجود اکتیویته و تعیین مقدار آن در هر قطاع بافت و نیز محاسبه غلظت مولار عنصر کمک می‌کند.
- ۲- حساسیت بالای تصاویر PET موجب می‌شود تا برای هر تصویر فقط مقادیر کمی از ماده نشاندار شده (در حد میکروگرم) کافی باشد. زیرا اکتیویته ویژه

بسیار بالا است.

۳- پوزیترون رها شده از عناصر پوزیترون دهنده در محیط مادی به سرعت با پاد ذره خود یعنی الکترون ترکیب شده و طی پدیده فنا به دو فوتون با انرژی ۵۱۱ کیلوالکترون ولت تبدیل می‌شود. این دو فوتون گاما بازاویه 180° از هم دور می‌شوند. این دو پرتو به وسیله یک مجموعه آشکارساز به صورت یک واقعه الکترونیکی همزمان ضبط و به رایانه منتقل می‌شود و محل دقیق واقعه با دقت بالا به کمک دوآشکارساز به فاصله یکسان از محل رهش گاما ضبط و ثبت می‌شود.

۴- عناصر گسیلنده پوزیترون براحتی بوسیله پیوند کوالانس در مولکولهای آلی نشاندار می‌شوند.

۵- نیمه عمر اکثراً کوتاه عناصر گسیلنده پوزیترون، آلدگی محیطی و دوز فردی را به حداقل می‌رساند. اما از سوی دیگر کوتاه بودن نیمه عمر رادیوایزوتوپهای گسیلنده پوزیترون موجب بروز

۳). در بررسی بیماریهای متابولیک استخوان و برسی افتراقی متابولیسم فلوئور در موادی مثل سندرم پاژه^(۴) و پیگیری روند درمان بیماریهای استخوان، پاسخهای دقیق تشخیصی از این یون تشخیصی به دست آمده است^(۵). گروه تحقیقاتی Petren-Mallmin تصادفاً موفق به تشخیص متاستازهای سرطان سینه با افزایش جذب فلوئور در نواحی اسکلروتیک و لیتیک شدند^(۶). همچنین پیشگیری زودرس عوارض داروهای گلوکوکورتیکوئیدی و بررسی میزان گستردگی پوکی استخوان ناشی از مصرف این داروها در بسیاری از بیماران سالم‌مند به عمل آمده است^(۷).

به منظور بررسی قبول یا رد پیوندهای استخوانی در جراحیهای ترمیمی و مطالعه روند بیولوژیک مکانیزم پیوند بافت استخوانی، مطالعاتی انجام شده است که نشان می‌دهد یون فلوئور می‌تواند رادیوداروی اختصاصی برای این مورد باشد^(۸-۹). یون فلوئورید را می‌توان در بررسیهای تخمین جریان خون استخوان در نواحی نرمال و درحال نابودی در بیماریهای دارای عوارض استحالة بافت استخوان به علیّی نظیر قانقاریای دیابتی مورد استفاده قرارداد. ضمن اینکه درجه پاسخ به آتشی‌بیوتیک درمانی در بیماران نیز به این روش قابل پیگیری است^(۱۰). امکان تعیین کمی و کیفی برداشت موضعی فلوئور در بافت استخوانی سالم برای بررسیهای علوم تغذیه‌ای به کمک این رادیودارو مورد مطالعه گسترشده قرار گرفته است^(۱۱). در کنار روش‌های دیگر می‌توان از یون فلوئورید در طبقه‌بندی بیماریهای استخوان و روند درمانی آن بطور انتخابی استفاده کرد^(۱۲). برخی از دیگر کاربردهای موفقیت آمیز این رادیودارو عبارتند از:

- بررسی اثر عوامل زیانبار در روند تشکیل استخوان با روش فلوئورید^(۱۳).

مشکل در انتقال رادیوایزوتوپها از محل تولید به مراکز پرتوپیزشکی می‌شود. برای رفع این مسئله تدبیر زیر به کار گرفته می‌شود: اولاً با استفاده از روش‌های کارآمد پرتوشیمیایی، سرعت واکنشهای نشاندارسازی افزایش داده می‌شود، ثانیاً امکانات لازم برای تجویز، تزریق و بلاfaciale نگاره‌برداری در مجاورت محل تولید رادیوایزوتوپ فراهم می‌شود.

در حال حاضر مهمترین هسته پوزیترون دهنده، فلوئور-۱۸ است که به عنوان یک عنصر گروه VII A جدول تناوبی کاربردهای فراوانی را در شیمی دارویی به خود اختصاص داده است. به طوری که اکثر رادیوداروهای PET¹⁸ ترکیبات F هستند. برخی از مزایای این رادیوایزوتوپ به شرح زیر است:

۱- فلوئور از نظر اندازه بسیار شیبی به هیدروژن است. با توجه به اینکه همه ترکیبات دارویی متابولیک حاوی هیدروژن هستند، فلوئور می‌تواند جایگزین مناسبی برای هیدروژن باشد.

۲- پیوند فلوئور-کربن بسیار مستحکم است بنابراین نگرانی چندانی از رها شدن فلوئور در محیط وجود ندارد.

۳- فلوئور اتم بسیار چربی دوستی است بنابراین به خوبی از غشاها جذب می‌شود. در عین حال پیوند فلوئور-کربن بسیار قطبی است و لذا به خوبی در آب حل می‌شود.

برخی خواص فیزیکی و روش‌های هسته‌ای متدال در تولید فلوئور-۱۸ در جدول ۱ درج شده‌اند.

کاربرد یون فلوئورید به فرم نمک پتاسیم و یا سدیم در مقالات مروری متعددی برای بررسی بیماریهای استخوان در سراسر جهان گزارش شده است^(۱). Cook و همکاران در اندازه‌گیری کیتیک موضعی استخوان مکرراً از این رادیودارو استفاده کرده‌اند^(۲) و

جدول ۱: ویژگیها و واکنشهای تولید فلوئور-۱۸

رادیوایزوتوپ	نیمه عمر (min)	واپاشی (%)	بیشینه انرژی β ⁺ (KeV)	برد متوسط β ⁺ در آب (mm)	واکنش هسته‌ای تولید
فلوئور-۱۸	۱۰۹/۷	(۹۷) β ⁺ (۳) EC	۶۳۵	۲/۴	²⁰ Ne(d, α) ¹⁸ F
					¹⁸ O(p,n) ¹⁸ F
					¹⁶ O(³ He,p) ¹⁸ F

پیک ۵۱۱ کیلوالکترون ولت انجام شد.

۱- بمباران آب غنی شده حاوی اکسیژن-

۱۸

مقدار ۷/۱ میلی لیتر آب قطر غنی شده حاوی اکسیژن-۱۸ با خلوص بالای ۹۵٪ (CortecTM, France) در یک هدف از جنس نقره مجهر به پنجه آلبیاژ هاوار (IBATM) به مدت ۱۵ تا ۲۰ دقیقه تحت تابش پروتونهایی با انرژی ۱۸ مگا الکترون ولت در سیکلوترون (IBATM, Cyclone-30) مرکز تحقیقات کشاورزی و پزشکی هسته ای سازمان انرژی اتمی (NRCAM) بمباران شد. خنکسازی سیستم به وسیله جریان پرفشاری از گاز هلیوم انجام می شد. پس از بمباران پروتونی هدف، فلور-۱۸ طی واکنش هسته‌ای $F^{18}(p,n)^{18}O$ تولید گردید.

مشخصات چهار مرحله بمباران هدف و اکتیویته استحصال شده نهایی به طور خلاصه در جدول ۲ درج شده است.

مطابق جدول، بیشترین میزان بازده تولید در آزمون شماره ۱ به میزان ۵۲mCi/ μ Ah صورت پذیرفته است، که این مقدار تقریباً با آزمون شماره ۲ هماهنگی دارد. تفاوت موجود بین این دو مرحله را می توان به درجه همگرایی باریکه پروتونی و شرایط و مدت زمان بمباران نسبت داد زیرا در آزمون شماره ۱ باریکه پروتونی با شدت جریان بیشتری به هدف تابیده شده است. در دو آزمون شماره ۳ و ۴ مدت زمان بمباران هدف افزایش یافته و متعاقب آن پرتوزایی محصول نیز نسبت به دو آزمون قبلی افزایش یافته است. با این وجود بازده

- برتری یون فلورید نسبت به $^{99m}Tc-MDP$ در بررسیهای کمی کلیوی و کیتیک خونی یون فلورید (۱۴۰۱).

- تشخیص افتراقی دقیق بیماریهای خوش خیم و بد خیم استخوان با استفاده توأم از فلورید و FDG (۱۶).

در این مقاله بطور خلاصه تولید، کنترل کیفی و نهایتاً نگاره برداری رادیوداروی فلورید پتابسیم گزارش می شود و نتایج حاصل با برخی از منابع اصلی رادیودارویی ایالات متحده و اروپا مقایسه می گردد

مواد و روشها

مواد شیمیایی اولیه از کمپانی Aldrich انگلستان تهیه شدند. کروماتوگرافی روی لایه نازک مواد، با استفاده از ورقه‌های سیلیکاژل با پایه پلیمری (مدل TLC Ready Foils Schleicher & 1500/LS 254, Merck, Schuell اندازه ۲۰×۲۰ و یا با پایه شیشه اندازه ۲۵×۲۵ سانتی متر) صورت گرفت. اکتیویته ویژه ماده نشاندارشده، با استفاده از منحنی استاندارد حاصل از ماده سرد روی کروماتوگرام محاسبه شد. اکتیویته ویژه اندامهای مختلف به وسیله رادیومتر با کانال تنظیمی فلور-۱۸ انجام شد. رادیوکروماتوگرافی روی یک موتور متحرک مجهر به یک آشکارساز ژرمانیم سدیم مدل (CanberraTM GC1020-750 SL) با استفاده از ورقه‌های سیلیکاژل با پایه پلیمری صورت گرفت. خالص‌سازی ماده نهایی به کمک ستونهای کوچک سیلیکا و کربن-۱۸ Sep-Pak خریداری شده از WatersTM انجام شد. کلیه محاسبات هسته‌ای بر مبنای

جدول ۱: برخی مشخصات باریکه پروتونی و اکتیویته محمول، طی چهار مرحله بمباران، با انرژی پروتونی ۱۸ مگا الکترون ولت

آزمون	شدت جریان پروتونی (μ A)	مجموع جریان (μ Ah)	پرتوزایی محصول (mCi)	بازده تولید ($mCi/\mu Ah$)
۱	۸	۱	۵۲	۵۲
۲	۶	۱	۴۵	۴۵
۳	۸	۵	۱۴۵	۲۹
۴	۷	۵	۱۴۹	۳۰

احتساب وزن کربنات پتاسیم ($W=2.3\text{mg}$) موجود در ۴۰۰ میکرولیتر (V_1) محلول چنین محاسبه شد:

$$C_1=W \cdot 1000/V_1=2.3 \times 1000/400=5.75 \text{ g/lit}$$

و از آنجا با احتساب جرم مولکولی کربنات پتاسیم ($M_1=138$) غلظت مولار حساب شد:

$$C_{M1}=C_1/M_1=5.75/138=0.0416 \text{ M}$$

محچنین با احتساب جرم مولکولی کلرید سدیم که بنای سنجش اسمولالیته خون با غلظت ۰/۹ درصد است ($M_2=58.5$) غلظت مولار آن (C_{M2}) حساب شد:

$$C_{M2}=C_2/M_2=9/58.5=0.154 \text{ M}$$

تفاوت این مولاریته باید حساب می شد:

$$\Delta CM=C_{M2}-C_{M1}=0.154-0.0416=0.1124 \text{ M}$$

و محصول (ΔCM) باید با افزودن معادل وزنی کلرید سدیم جبران می شد تا به غلظت خون برسد:
 $C=MW \times CM=58.5 \times 0.1124=6.57 \text{ g/lit}$
 $W=C \cdot V_1/1000=6.57 \times 0.4/1000=2.63 \text{ (mg NaCl)}$

۲-۳- اسیدیته : با انجام مراحل فوق اسیدیته ای در حدود ۵/۵ تا ۶/۵ در محلول ایجاد شد. در غیر این صورت تنظیم دقیق اسیدیته بین ۷-۵، با افزودن مقادیر بافر فسفات با pH اسیدی یا بازی انجام می شود.

۳-۳- استریل کردن با عبور از صافی ضد میکروبی : برای اطمینان از عاری بودن محصول نهایی از میکروبها، قارچها و پیکره آنها مراحل زیر به ترتیب انجام شد:

حجم ۰/۵ تا ۵ میلی لیتر از محلول فوق در یک محیط سرنگ استریل از درون صافی ۰/۲۲ میکرون ساخت کمپانی Waters Cathivex عبور داده شد و بالا فاصله به مویال استریل انتقال داده شد.

۴- کنترل کیفی

۴-۱- کنترل شیمیایی : محلول نهایی رادیودارو باید از نظر مقدار یون های طبیعی که در پروسه تولید و بمباران در تماس با محلول دارو هستند تحت کنترل قرار گیرد تا از عدم وجود این یونها بیش از حد استاندارد USP اطمینان حاصل شود. بدنه هدف تحت بمباران از جنس نقره است. پنجه واسط بین محفظه آب تحت بمباران و محفظه خنک شونده از جنس آلیاژ هاوار می باشد، که عمدتاً از عناصر آهن،

تولید در آزمونهای شماره ۳۰۴ کاهش محسوسی را نسبت به آزمونهای شماره ۱۰۲ نشان می دهد که این مسئله را می توان به افزایش زمان بمباران و واپاشی هسته های رادیواکتیو به هنگام تولید نسبت داد. در نهایت به منظور دستیابی به اکتیویته بیشتر، توصیه می شود بمباران هدف طی مدت زمان یک نیمه عمر (۱۱۰ دقیقه) انجام پذیرد.

۲- تهیه $[^{18}\text{F}]$ فلوئورید و تبدیل آن به فرم واکنش دهنده

محلول واکنش یافته به وسیله فشار جریان گاز هلیوم از اتاق بمباران وارد سیستم جمع آوری (Recovery) واقع در آزمایشگاه با پرتوزایی بالا (Hot Cell) شد. محلول آب غنی شده پس از بمباران، حاوی مقادیر جزیی یونهای فلوئور، بسرعت از روی یک غشای یونی عبور داده شد به طوریکه هر نوع یون اعم از کاتیون و یا آنیون روی آن متصل شد. برخی ناخالصیهای حاصل از بمباران اجزای بدنه هدف که اکثراً یونهای فلزی رادیواکتیو هستند، در این مرحله از آب جدا شدند. سپس شستشوی این غشا با کربنات پتاسیم باعث رهش یون فلوئورید به فرم فلوئورید پتاسیم شد. با قیامنده آب غنی شده جمع آوری شد. با شستشوی رزین با محلول کربنات پتاسیم، یون فلوئورید به فرم فلوئورید پتاسیم ($K^{18}\text{F}$) با حجمی حدود ۴۰۰ میکرولیتر خارج شده و وارد ویال نهایی شد.

۳- فرمول بندی محلول رادیودارویی $[^{18}\text{F}]$ فلوئورید پتاسیم

برای تبدیل محلول حاصل به فرم دارویی قابل تزریق، مراحل زیر به ترتیب انجام شد:

۳-۱- ایزوسموتیک شدن : به منظور اطمینان از زیست سازگاری محلول تزریقی نهایی به موجود زنده و تطابق فشار اسمزی محلول نهایی با سرم و گلبولهای خون، به ازای هر ۴۰۰ میکرو لیتر محلول رادیواکتیو، ۰/۶ میلی گرم نمک کلرید سدیم به ویال افزوده و بهم زده شد تا یکنواخت گردد. سپس می توان محلول حاصل را توسط نرمال سالین به هر حجم رقیق نمود. محاسبات به عمل آمده چنین است: غلظت محلول فلوئورید پتاسیم حاصل از شیمی با

تحت رادیوکروماتوگرافی قرار گرفت. خلوص رادیوشیمیایی به فرم رادیوپیک فلورورید در R_f حدود ۰/۸ بودست آمد. مطابق شکل ۱، TLC در قطعه شماره ۱۰ ($R_f = 0/8$) به وضوح بیشترین میزان شمارش به وسیله طیف سنج گاما را نشان می‌دهد که نشان دهنده خلوص رادیوشیمیایی مطلوب در محصول می‌باشد.

۴-۳-۴- کنترل رادیونوکلئیدی: (الف) واکنش با قطعات هدف- به دلیل برخورد پرتابه پروتون با قطعات هدف که از جنس نقره، آهن، نیکل، کروم و کبات است و احتمال رویکرد واکنشهای هسته‌ای مزاحم، ممکن است ناخالصیهای رادیوایزوتوپی حاصل شوند. مهمترین این واکنشها در جدول ۴ درج شده‌اند.

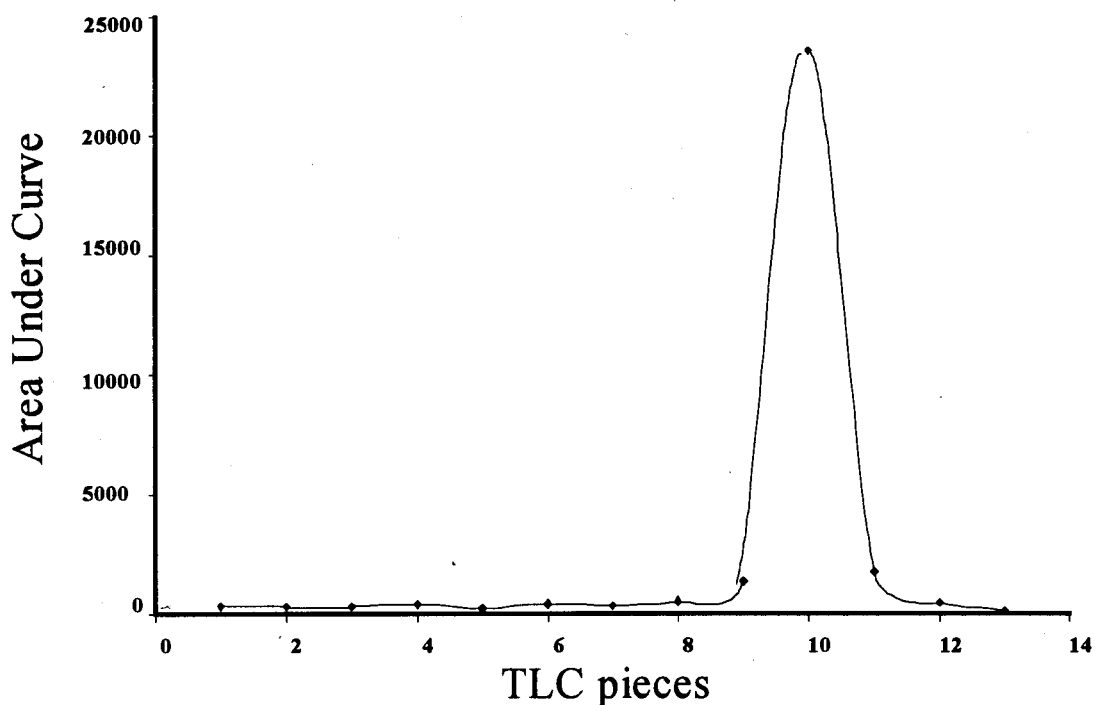
برای بررسی خلوص رادیوایزوتوپی محصول، از طیف حاصل از آشکارساز ژرمانیم فوق خالص استفاده شد و رادیوپیکهای رادیودارو مطابق شکل ۲ بدست آمد.

نیکل، کروم و کبات تشکیل یافته است. بنابراین وجود یونهای نقره، آهن، نیکل، کروم و کبات در محلول باید تحت بررسی قرار گیرد. یکی از بهترین روشها برای اندازه‌گیری این یونها روش رنگ سنجی با دقت بالاست که براساس تشکیل کمپلکس رنگی بین یک ماده آلی و یون معدنی مورد سنجش در یک محیط آبی و مقایسه رنگ حاصل با شاهد منفی و شاهد مثبت حاوی یون مزبور با بیشینه غلظت مجاز صورت می‌گیرد. در این حالت رنگ حاصل از محلول رادیودارو و معرف باید لزوماً کمتر از شاهد مثبت باشد. جدول ۳ روشهای سنجش یونهای مورد نظر و جزئیات تشخیصی را نشان می‌دهد. با انجام آزمونهای کنترل شیمیایی با دقت بالا بر روی محصول نهایی هیچگونه ناخالصی یونی بالاتر از حد مجاز مشاهده نشد.

۴-۲- کنترل رادیوشیمیایی: محلول حاصل از تولید نمونه به وسیله کروماتوگرافی روی کاغذ نازک واتمن با نحلال استونیتریل-نرمال سالین (۱:۱) بعنوان فاز متحرک، تحت بررسی قرار گرفت. پس از پایان کروماتوگرافی، کاغذ در دمای اتاق خشک شد و

جدول ۳؛ فضوصدیقات آزمایشهاي انگ سنبه ایشانهای کاوش یونهای احتمالی موجود در محلول نهایی

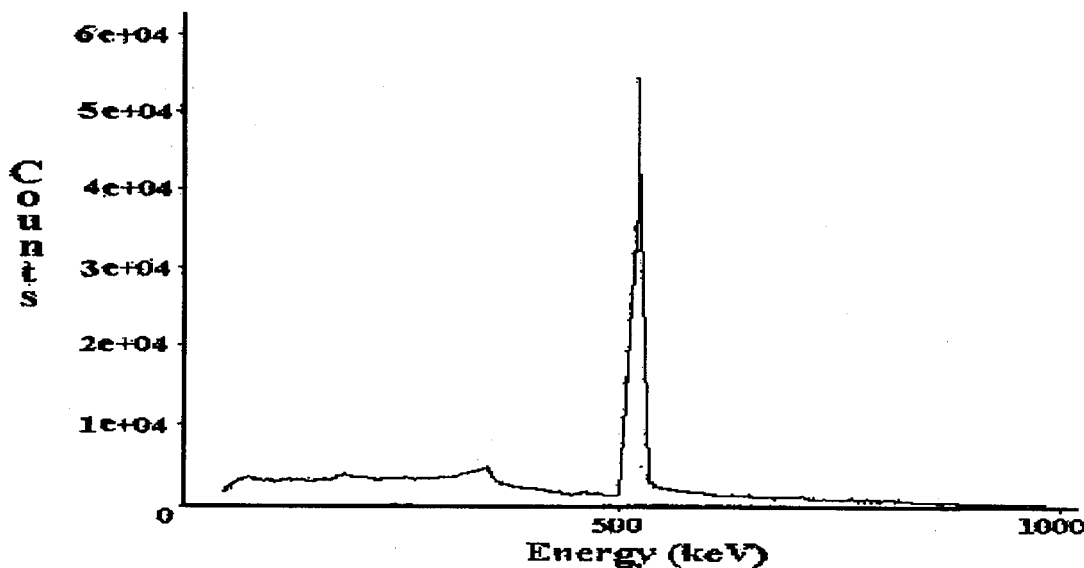
یون	معرف	رنگ	حداکثر مجاز اروپا (ppm)	حداکثر مجاز ایالات متحده (ppm)	حداکثر دفت عملی (ppm)
کرم	هیدروکسی کینولین	زرد	۸	۴	۳
کبات	هیدروکسی کینولین	قرمز	۱۰	۵	۴
آهن	۲و-۲-دی پیریدیل	صورتی	۵	۵	۴
نیکل	دی متیل گلی اکسیم	صورتی	۶	۴	۲
نقره	دی تیزون	صورتی	۵	۳	۳



شکل ۱: رادیوکروماتوگرام مخلوط نهایی فلورورید پتاسیم بر اساس پیک ۵۱۱ کیلوالکترون ولت

جدول ۴: واکنشهای هسته‌ای ممکن و ویژگیهای هسته‌های حاصل در اثر برقورد پروتون با دیواره داخلی هدف

واکنشهای هسته‌ای	نیمه عمر محصول	انرژی فotonهای اصلی گاما (keV)
$^{56}\text{Fe}(\text{p},\gamma)^{57}\text{Co}$	(d) ۲۷۱/۷۹	۱۲۲ و ۱۳۶
$^{56}\text{Fe}(\text{p},\text{n})^{56}\text{Co}$	(d) ۷۷/۷۹	۸۴۵ و ۱۲۳۸
$^{56}\text{Fe}(\text{p},2\text{n})^{55}\text{Co}$	(h) ۱۷/۰۳	۴۷۷ و ۹۳۱
$^{59}\text{Co}(\text{p},\gamma)^{60}\text{Co}$	(y) ۰/۲۷	۱۱۷۳ و ۱۳۳۲
$^{59}\text{Co}(\text{p},\text{pn})^{58}\text{Co}$	(d) ۷۰/۸۲	۸۱۱ و ۸۶۴
$^{58}\text{Ni}(\text{p},\text{pn})^{57}\text{Ni}$	(d) ۳۵/۶	۱۲۷ و ۱۳۷۸
$^{58}(\text{p},2\text{p})^{57}\text{Co}$	(d) ۲۷۱/۷۹	۱۲۲ و ۱۳۶
$^{60}\text{Ni}(\text{p},\text{n})^{60}\text{Cu}$	(m) ۲۳	۸۲۶ و ۱۳۳۲
$^{107}\text{Ag}(\text{p},\text{n})^{107}\text{Cd}$	(d) ۷۰	۳۲۵ و ۷۹۶ و ۸۲۹
$^{52}\text{Cr}(\text{p},\text{n})^{52}\text{Mn}$	(d) ۵/۰۹	۷۴۴ و ۹۳۶
$^{52}\text{Cr}(\text{p},\text{pn})^{51}\text{Cr}$	(d) ۲۷/۷	۳۲۰



شکل ۲: طیف گاما نمونه بعد از انها مراحل استخراج شیمیایی

نشد. این امر دال بر کارآیی بالای مراحل استخراج شیمیایی است.

ب) واکنشهای رقیب پروتون با آب- با توجه به درجه خلوص آب غنی شده که در حدود ۹۵ تا ۹۷٪ درصد می باشد، بدینهی است که مقادیری آب حاوی اکسیژن-۱۶ نیز در محیط موجود است که می تواند در واکنشهای هسته‌ای $O^{15}(p,2n)^{16}O$ و $O^{16}(p,\alpha)^{13}N$ شرکت کند.

در شرایط معمولی سعی بر آن است تا با تنظیم انرژی باریکه پروتون تا حد امکان از ایجاد این محصولات جلوگیری شود ولی در هر حال مقادیر ناچیزی از آنها تولید می شود که با توجه به نیمه عمر کوتاه این دو رادیوایزوتوپ نسبت به فلورور-۱۸ (حدود ۱۰ دقیقه برای نیتروژن-۱۳) و دو دقیقه برای

مطابق طیف شکل ۲، تنها پیک مشهود، پیک ۵۱۱ کیلوالکترون ولت مربوط به گسیل پوزیترون از هسته‌های رادیواکتیو است یعنی پس از انجام مراحل شیمی استخراج، هیچگونه ناخالصی و آلودگی رادیواکتیو ناشی از واکنش پروتون با دیواره هدف در نمونه محصول نهایی مشاهده نمی شود. اما به منظور بررسی دقیقت، طیف گاما رزین نیز به وسیله طیف سنج گاما گرفته شد. آنالیز طیف گاما رزین وجود رادیوایزوتوپ‌های زیر را تایید نمود: (جدول ۵)

بنابراین می توان نتیجه گرفت که اولاً تعدادی از واکنشهای هسته‌ای پیش‌بینی شده در جدول ۴، روی داده است. ثانیاً یونهای فلزی حاصل وارد محلول هدف شده‌اند. ثالثاً تمامی این یونها جذب رزین شده‌اند به طوریکه مطابق طیف شکل ۲ پس از استخراج شیمیایی محصول، هیچ گونه آلودگی به این یونها مشاهده

جدول ۵: ناقصیهای رادیوایزوتوپی حاصل از بمباران آب غنی شده در هدف، جذب شده (وی غشای یونی

	۳۲۰	۷۴۴۹۳۶	۴۷۷	۸۴۵۱۲۳۸	۱۲۲	۸۱۱	۱۲۷۱۳۷۸	پیک مشاهده شده (keV)
^{51}Cr	^{52}Mn	^{55}Co	^{56}Co	^{57}Co	^{58}Co	^{57}Ni		رادیوایزوتوپ مربوطه

آزمون هیچگونه آلودگی میکروبی - قارچی را نشان نمی‌دهد.

۴-۵- تست پیروزن : برای حصول اطمینان از عدم تب زایی محصول، این تست به وسیله کیت‌های تجاری LAL انجام شد. در نتیجه هیچگونه مواد پیروزن در محصول یافت نشد.

۵- مطالعات پراکندگی بافتی با تزریق به موشهای صحرایی

در این مرحله ۵۰ تا ۱۰۰ میکرولیتر از محلول رادیوакتیو نهایی با اکتیویتای حدود ۳۵۰ الی ۴۰۰ میکروکوری از ناحیه ورید دم به موش صحرایی تزریق شد. گروههای سه تایی موشها طبق فواصل زمانی جدول ۶، قربانی شده و پس از اندازه‌گیری دقیق وزن هر بافت و اکتیویته موجود در آن در دوزیمتر چاهی، اکتیویته ویژه ($\mu\text{Ci}/\text{gr}$) هر بافت بصورت دوز جذبی در هر گرم بافت محاسبه شد.

۶- تزریق به موشهای صحرایی برای مطالعه نگاره‌برداری

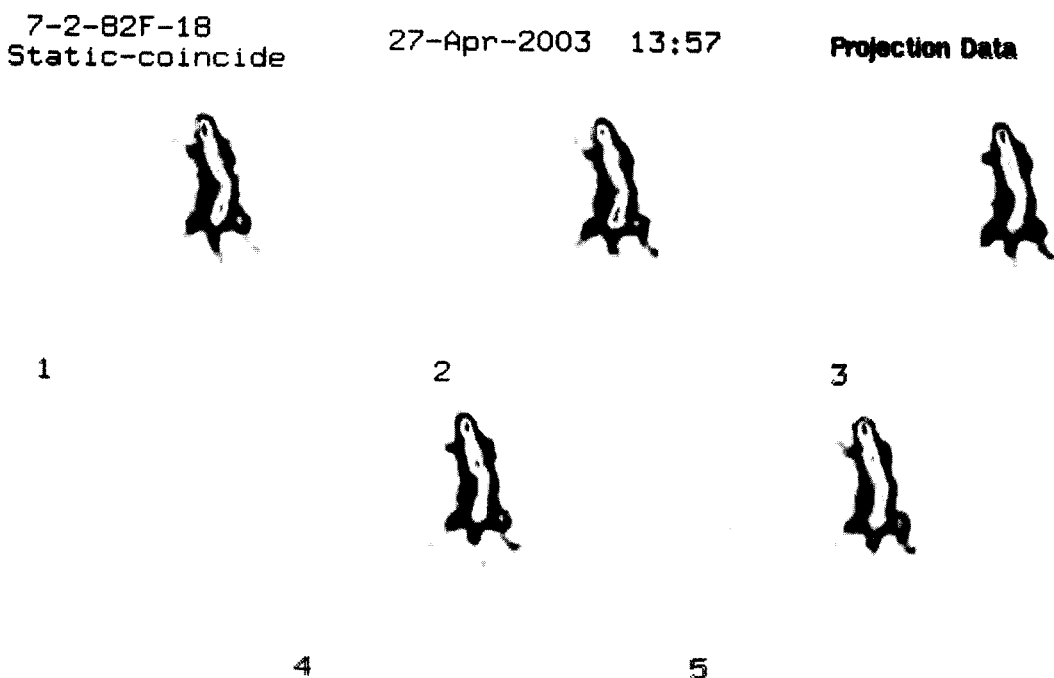
تعداد دیگری از موشهای صحرایی در فواصل زمانی مشخص تحت نگاره برداری اولیه با دوربین گاما قرار گرفتند. شکل‌های ۳ تا ۵ نمایی از اسکن همزمانی اولیه در یک موش صحرایی را نشان می‌دهند.

اکسیژن-۱۵ در مقایسه با ۱۱۰ دقیقه برای فلوئور-۱۸)، معمولاً در شرایط عادی مقدار آنها به کمتر از ۱ درصد می‌رسد. البته در مرحله بازفرآوری (recovery آب، برای حفظ آب اضافی حاوی اکسیژن-۱۸، آب حاوی اکسیژن-۱۵ (در صورت وجود) نیز از محصول جدا می‌شود. به هر حال با توجه به تلاشی یکسان سه هسته پرتوزای فلوئور-۱۸، اکسیژن-۱۵ و نیتروژن-۱۳ که هرسه آنها پیک حاصل از استحاله پوزیترون یعنی ۱۱ کیلوالکترون ولت را دارند، مشاهده این پیک به تنهایی نمایانگر خلوص رادیونوکلشیدی محصول نمی‌باشد و اندازه‌گیری دقیق نیمه عمر باید انجام شود. این امر با اندازه‌گیری اکتیویته نمونه‌ای با اکتیویته حداقل ۱ میلی کوری با بیشینه خطای ۱ درصد امکان پذیر است. با امتداد دادن محور اکتیویته در مقدار ۰/۵ میلی کوری و عمود کردن آن بر محور زمان نیمه عمر بدست می‌آید که در صورت خالص بودن نمونه، باید در حدود $10^{9/5} \pm 1$ دقیقه باشد. طبق اندازه‌گیریها و محاسبات انجام شده در این تحقیق مشخص گردید که بیش از ۹۹ درصد رادیونوکلشیدهای پوزیترون دهنده در نمونه مورد بررسی، به فرم فلوئور-۱۸ می‌باشد.

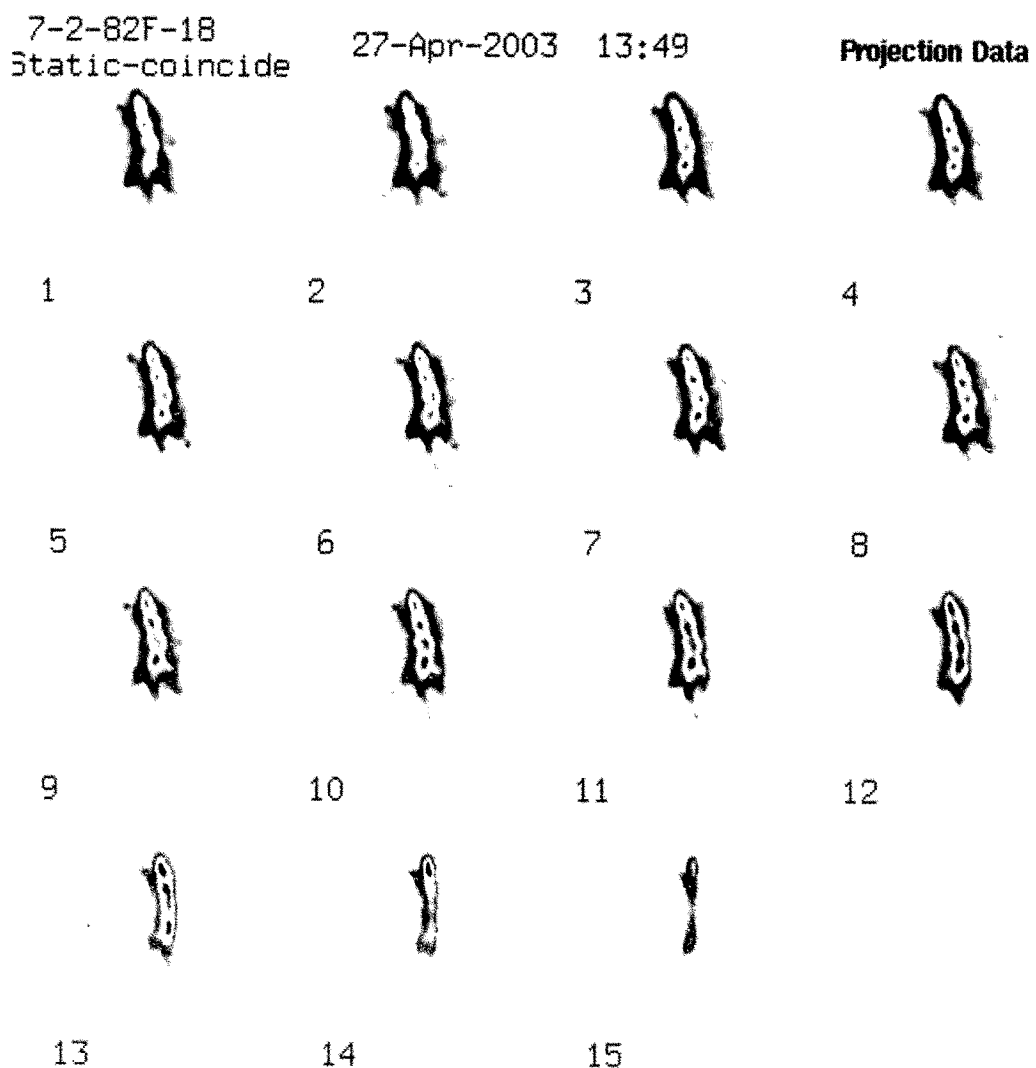
۴-۴- کنترل میکروبی - قارچی : این مرحله برای حصول اطمینان از عدم وجود گونه‌های ارگانیزمی در محصول در محیط‌های کشت استریل در کنار شاهدهای مثبت و منفی انجام گرفت و بررسی رشد یا عدم رشد کلونی در محیط‌ها تا یک ماه انجام شد. نتیجه این

جدول ۶: اکتیویته ویژه فلوئورید پتاسیم [^{18}F] در بافت‌های اصلی موش بصورت دز جذبی در هر گرم بافت ($\mu\text{Ci}/\text{gr}$)

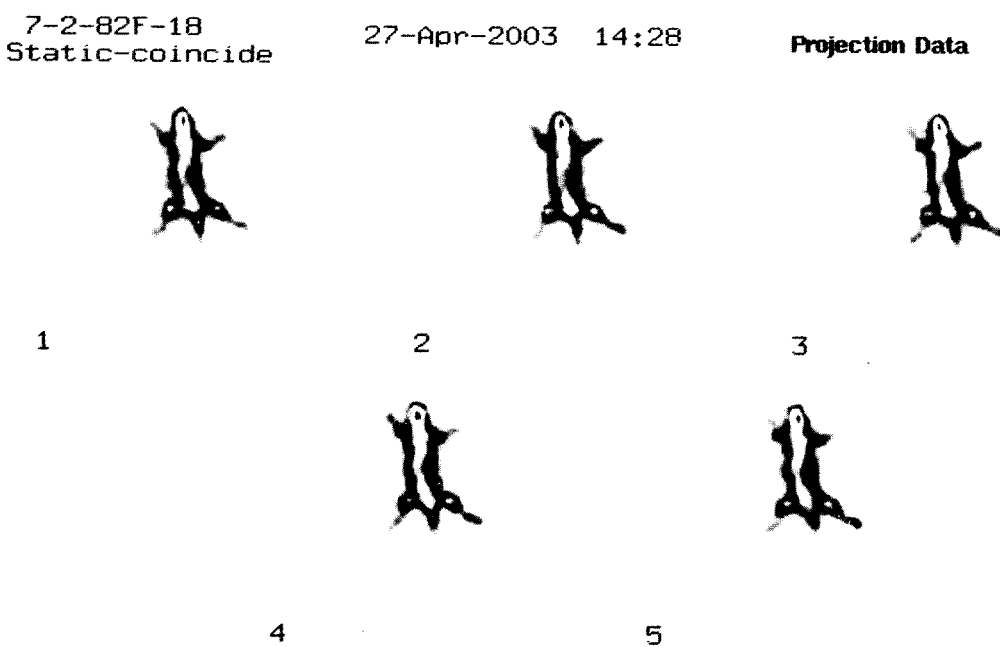
خون	مثلثه	کلیه	بد	ریه	مدفع	روده	قلب	طحال	عضله	پوست	جناغ	منظر
۰/۰۵	۳/۳	۰/۹۳	۰/۷۵	۰/۴۶	۱/۶۹	۰/۴۶	۰/۳۳	۰/۶۷	۰/۳۶	۱/۷	۱/۴	۱/۰۹
۰/۴۵	۳/۱	۰/۳۴	۰/۲۷	۱/۳۴	۲/۵۶	۰/۸۹	۰/۲۵	۰/۶۲	۰/۵۷	۱/۰۹	۱/۳۵	۰/۴



شکل ۳: نمایی از استئن هم‌مانع (Co-incidence) اولیه تمام بدن یک موش صدرایی ۴۵ دقیقه پس از تزریق ۴۰۰ میکروگوری محلول استریل نهایی [^{18}F] فلوروئرید پتاسیم



شکل ۱۴: نمایی از اسکن همزمانی اولیه تمام بدن یک موش صدرایی ۱/۵ ساعت پس از تزریق ۳۰۰ میکروگوچی محلول استریل نهایی $[^{18}\text{F}]$ -فلوئورید پتاسیم



شکل ۵: نمایی از اسکن اولیه تمام بدن در یک موش صدرایی مددود ۶ ساعت پس از تزریق ۴۰۰ میکروگوری محلول استریل نهایی $[^{18}\text{F}]$ فلوئورید پتابسیم

۶- تست پیروژن برای حصول اطمینان از عدم تب زایی محصول.

۷- کنترل شیمیایی محصول از نظر ناخالصیهای فلزی.

رادیودارو بصورت تزریق وریدی در حجمی معادل ۱۰۰ تا ۳۰۰ میکرولیتر به ورید دمی تزریق شد. در اولین دقیقه‌ها به دلیل حلالیت مناسب یون فلوئورید در آب، میزان یون در خون بالاست اما در کمتر از ۳۰ دقیقه، دفع کلیوی یون از راه انتشار افزایش می‌یابد به طوریکه مقدار $3/3 \mu\text{Ci}/\text{gr}$ در مثانه پس از ۱/۵ ساعت به $3/1 \mu\text{Ci}/\text{gr}$ رسید. کلیه نیز تغییرات مشابهی را نشان می‌دهد. با توجه به واپاشی رادیواکتیو به نظر می‌رسد مقدار یون فلوئورید در قلب و طحال و تا حدودی در عضلات ثابت است و یا تغییر محسوسی ندارد.

در استخوانها جذب اکتیویته به سرعت صورت می‌گیرد و سپس ثابت می‌ماند. به نظر می‌رسد جذب

بحث و نتیجه‌گیری

به طور کلی می‌توان این تحقیق را به چند مرحله تقسیم نمود:

الف) تولید $[^{18}\text{F}]$ از آب غنی شده و تبدیل آن به فرم فلوئورید پتابسیم $[^{18}\text{F}]$.

ب) فرمول بندي فلوئورید پتابسیم $[^{18}\text{F}]$.

ج) بررسی پراکنندگی دوز جذبی رادیوداروی $[^{18}\text{F}]$ در اندامهای موش صحرایی.

د) بررسی توزیع فلوئورید پتابسیم $[^{18}\text{F}]$ به کمک نگاره برداری در موش صحرایی.

جهت آماده‌سازی فرم نهایی رادیوداروی قابل تزریق به بیمار مراحل زیر باید انجام شود:

۱- تنظیم دقیق اسیدیته بین ۷-۴.

۲- کنترل دقیق رادیوشیمیایی.

۳- کنترل رادیونوکلئیدی.

۴- عبور از صافی ضد میکروبی و اتوکلاو کردن.

۵- کنترل میکروبی-قارچی.

فرض صحة می‌گذارد، به طوری که در این فاصله زمانی در سیستم گوارشی حدود ۶۰-۵۰ درصد افزایش اکتیویته مشاهده می‌شود.

با توجه به تولید $[^{18}\text{F}]$ فلوئورید پتاسیم و فراهم بردن امکانات تولید گسترده‌تر آن به عنوان رادیوداروی PET به منظور بررسی کمی وکیفی عملکرد اندامهای بدن، رویکرد متخصصین به خرید و کاربرد دوربینهای PET این رادیودارو می‌تواند موضوع مناسبی برای تحقیقات رادیودارویی باشد.

انتخابی و در عین حال اشباع پذیر فلوئور در ملکول هیدروکسی آپاتیت قبل از ۳۰ دقیقه انجام می‌شود. همین جذب اختصاصی و پایدار فیزیکو شیمیایی اساس خاصیت تشخیصی یون فلوئورید در بیماریهای استخوان محسوب می‌شود. در کمال تعجب چرخه کبدی-روده‌ای در مورد فلوئور-۱۸ به فرم فلوئورید به چشم می‌خورد، بطوريکه مقدار اکتیویته در کبد پس از ۹۰ تا ۳۰ دقیقه کاهش می‌یابد که نمایانگر دفع از طریق صفر است. داده‌های محتویات کبد و روده بر این پیش

منابع

- 1) Cook, G.J. Fogelman.I. The role of positron emission tomography in skeletal disease. *Semin. Nucl. Med.* Jan.2001; 31(1):50-61
- 2) Cook, G.J. Lodge, M.A. Non-invasive assessment of skeletal kinetics using fluorine-18 fluoride positron emission tomography: evaluation of image and population-derived arterial input functions. *Eur. J. Nucl. Med.* Nov.1999; 26(11):1424-9
- 3) Cook, G.J. Lodge, M.A. Differences in skeletal kinetics between vertebral and humeral bone measured by ^{18}F -fluoride positron emission tomography in postmenopausal women. *J. Bone Miner. Res.* Apr.2000 ; 15(4):763-9
- 4) Cook, G.J. Blake, G.M. Quantification of skeletal kinetic indices in Paget's disease using dynamic ^{18}F -fluoride positron emission tomography. *J. Bone Miner. Res.* May 2002 ;17(5): 854-9
- 5) Schiepers, C. Nuyts, J. Fluoride kinetics of the axial skeleton measured in vivo with fluorine-18-fluoride PET. *J. Nucl. Med.* Dec.1997; 38(12): 1970-6
- 6) Petren Mallmin, M..Andreasson, I. Skeletal metastases from breast cancer: uptake of ^{18}F -fluoride measured with positron emission tomography in correlation with CT. *Skeletal Radiol.* Feb. 1998 ;27(2):72-6
- 7) Berding, G. Kirchhoff, T.D. $[^{18}\text{F}]$ fluoride PET indicates reduced bone formation in severe glucocorticoid-induced osteoporosis. *Nuklearmedizin*, Mar.1998 ; 37(2):76-9
- 8) Schliephake, H. Berding, G. Monitoring of graft perfusion and osteoblast activity in revascularised fibula segments using $[^{18}\text{F}]$ -positron emission tomography. *Int. J. Oral Maxillofac. Surg.* Oct.1999 ; 28(5):349-55
- 9) Berding, G. Burchert, W. Evaluation of the incorporation of bone grafts used in maxillofacial surgery with $[^{18}\text{F}]$ fluoride ion and dynamic positron emission tomography. *Eur. J. Nucl. Med.* Oct.1995 ;22(10):1133-40
- 10) Piert, M. Zittel, T.T. Blood flow measurements with $[^{15}\text{O}]H_2\text{O}$ and $[^{18}\text{F}]$ fluoride ion PET in porcine vertebrae. *J. Bone Miner. Res.* Aug.1998 ;13(8):1328-36
- 11) Hawkins, R.A. Choi, Y. Evaluation of the skeletal kinetics of fluorine-18-fluoride ion with PET. *J. Nucl. Med.* May 1992 ;33(5): 633-42
- 12) Piert, M. Zittel, T.T. Increased sensitivity in detection of a porcine high-turnover osteopenia after total gastrectomy by dynamic ^{18}F -fluoride ion PET and quantitative CT. *J. Nucl. Med.* Jan. 2003 ;

44(1): 117-24

- 13) Muhonen, A. Peltomaki, T. Osteoblastic activity of the rabbit temporomandibular joint during distraction osteogenesis assessed by $[^{18}\text{F}]$ fluoride positron emission tomography. Eur. J. Oral Sci. Apr. 2002 ; 110(2) : 144-8
- 14) Park Holohan, S.J. Blake, G.M. Fogelman. I. Quantitative studies of bone using ^{18}F -fluoride and $^{99\text{m}}\text{Tc}$ -methylene diphosphonate: evaluation of renal and whole-blood kinetics. Nucl. Med. Commun. Sep.2001 ;22(9):

1037-44

- 15) Blake, G.M. Park Holohan, S.J. Quantitative studies of bone with the use of ^{18}F -fluoride and $^{99\text{m}}\text{Tc}$ -methylene diphosphonate. Semin. Nucl. Med. Jan. 2001 ; 31(1): 28-49
- 16) Cook, G.J. Fogelman. I. Detection of bone metastases in cancer patients by ^{18}F -fluoride and ^{18}F -fluorodeoxyglucose positron emission tomography. J. Nucl. Med. Mar. 2001 ;45(1): 47-52